Corso di Laurea Magistrale in Scienze Chimiche, Curriculum "Struttura, dinamica e reattività chimica"

Struttura e Dinamica Molecolare di Sistemi Biologici - 2009/2010

Laboratorio 7 - (8-11 gennaio 2010)

Simulazioni MD-REM di GPM12: Analisi risultati

1 Riordinare le traiettorie

Le traiettorie si possono riordinare con il comando

```
> orac-rem-order [nome-file-pdb] [nome-file-energie]
```

I nomi dei file corrispondenti sono uguali in tutti le sottodir delle traiettorie (PAR????/)

Con qs comando si creano dei file ...-0001, ...-0002, etc, che contengono i dati di una stessa replica. In particolare ci interessa la replica a potenziale pieno (-0001)

2 Energie delle repliche

L'energia potenziale delle varie traiettorie e delle varie repliche si può diagrammare rispettivamente con

```
> plot PAROO??/REM_DIAGNOSTIC -1,5
e
> plot REM_DIAGNOSTIC-00?? -1,5
```

Diagrammando l'hamiltoniano di Nosè (terza colonna) si nota una deriva verso l'alto, dell'ordine di $0.1kJ\,mol^{-1}/ps$

3 Complicazione dovuta al limite massimo di un run

Si è notato che se un run supera i 10ps qualche accumulo di errore fa sì che la simulazione diventi instabile. Soluzione: si fa una serie di run di 1ps con restart

Per far questo si costruisce un piccolo programma di loop:

```
#! /bin/bash
FROM=0;
TO=1;
PROG=orac;
while getopts "f:p:t:" Option do
  case $Option in
    f
          )
                FROM=$OPTARG ;;
          )
                PROG="$OPTARG";;
    p
    t
          )
                TO=$OPTARG ;;
esac
done
echo "Running program $PROG´, loop will run from $FROM to $TO"
for ((i=$FROM; i<=$TO; i++)); do</pre>
    printf -v 1 "%04d" $i
    echo $1;
    loop-pre-run $i $1;
    $PROG < loop-new.in > loop-new.out
    loop-post-run $i $1;
    for f in loop-new.*; do
          cp $f $f/loop-new/$1
          cp $f $f/loop-new/loop-old
    done
done
```

In sostanza, ad ogni ciclo: si prepara un nuovo input con la procedura loop-pre-run; si lancia orac; si manipolano i file creati con loop-post-run:

```
#! /bin/bash
i=$1;
1=$2;
awk -v I=$i -f loop-pre-run.awk < loop-new.in > a.in
mv a.in loop-new.in
```

```
#! /bin/awk -f

/ TIME / time=$2+1000000.; print " TIME ",time;next

print ",time;next
```

```
#! /bin/bash
l=$2;
for d in PAROO*;do
    cd $d;
    for f in loop-new.*; do
        cp $f $f/loop-new/$l
        cp $f $f/loop-new/loop-old
    done
    cp REM_DIAGNOSTIC REM_DIAGNOSTIC.$1
    cp out* $1.out
    cd ..;
done
```

Nell'input loop-new.ini file creati devono avere i nomi opportuni per essere manipolati da queste procedure:

```
loop-new.in

&INOUT

ASCII 1000.0 OPEN loop-new.pdb

RESTART

read loop-old.rst

write 1000.0 OPEN loop-new.rst

END

&END
```

In questo modo in ogni sottodirectory PARxxxx si ottengono una serie di file REM_DIAGNOSTIC.0001 ... e 0001.out ... 0001.pdb ...

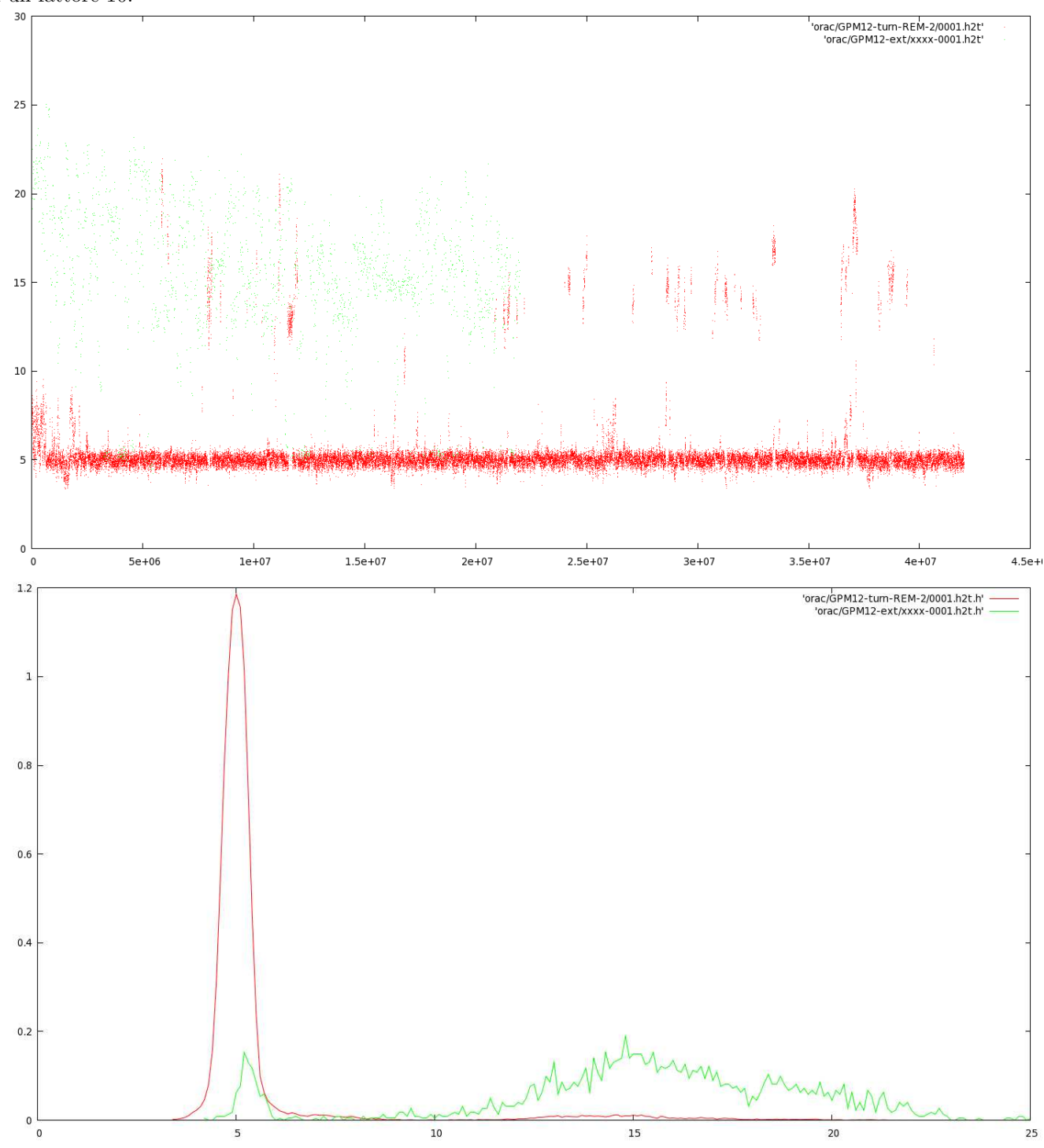
4 Parametri configurazionali

4.1 distanze

Come parametri caratteristici della configurazione di questi polipeptidi con (possibile) β -turn si possono prendere alcune distanze interatomiche:

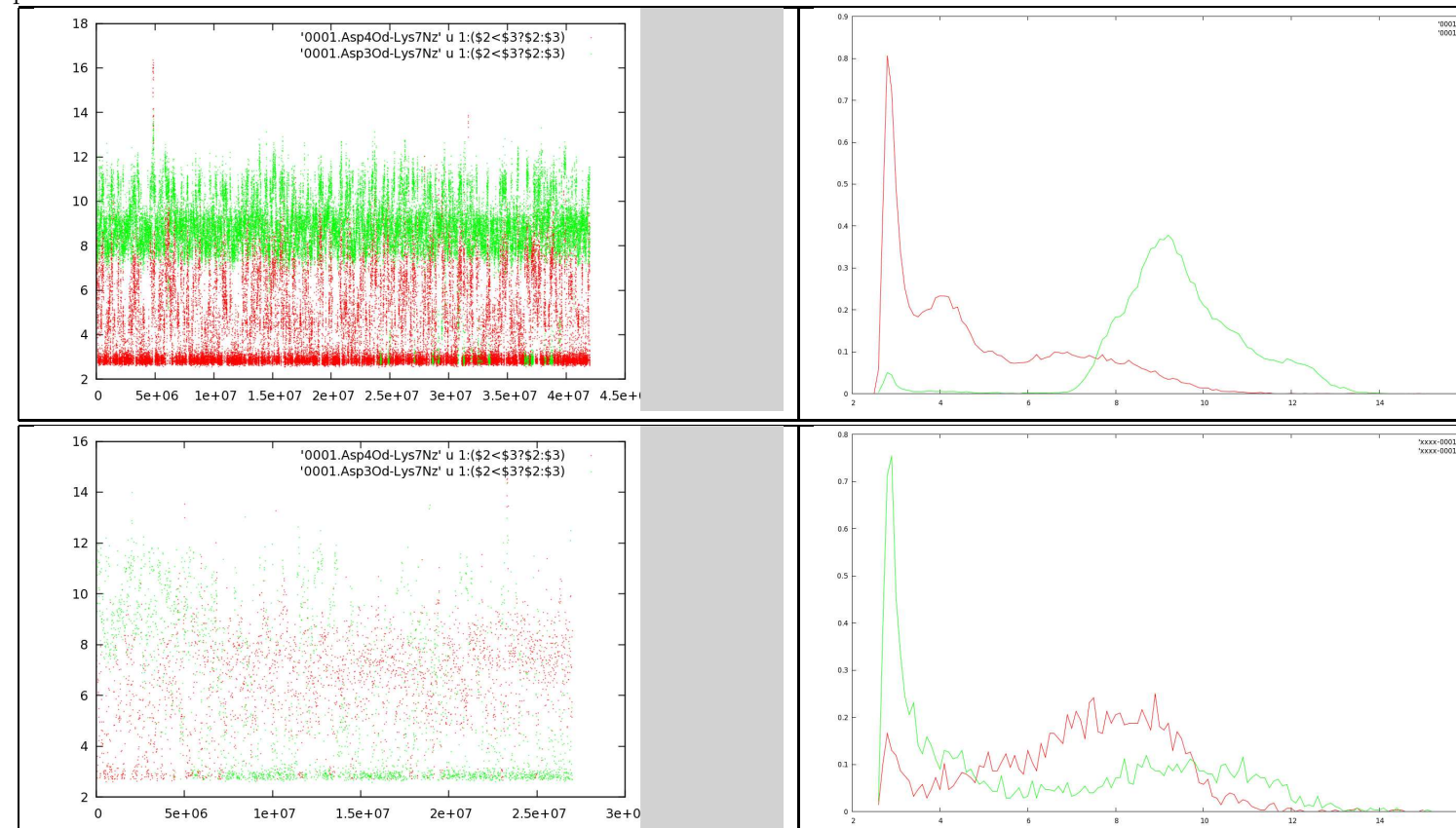
 \bullet distanza testa-coda (tra i C^{α} dei residui 1 e 10)

Figura 1: partendo da piegata (0-42 ns; rossa) e estesa (0-20 ns; verde); il campionamento sull'estesa è più rado di un fattore 10.



• distanze $Asp3O^{\delta} - Lys7N^{\varsigma}$ e $Asp4O^{\delta} - Lys7N^{\varsigma}$ (ponti salini, non presenti nella chignolina). Il ponte salino $Asp3O^{\delta} - Lys7N^{\varsigma}$ stabilizza la struttura estesa, $Asp4O^{\delta} - Lys7N^{\varsigma}$ quella piegata

Figura 2: ponti salini partendo da piegata (prima riga) e estesa (seconda riga). Il campionamento sull'estesa è più rado di un fattore 10.



4.2 angoli

La presenza del β -turn (che interessa i residui 4-5-6-7) è evidenziata dal diagramma di Ramachandran del residuo 7. Se c'è il turn, la sequenza è $\alpha_R - \alpha_R - \gamma_R - \alpha_L$. Nella chignolina il residuo Gly7 è α_L .

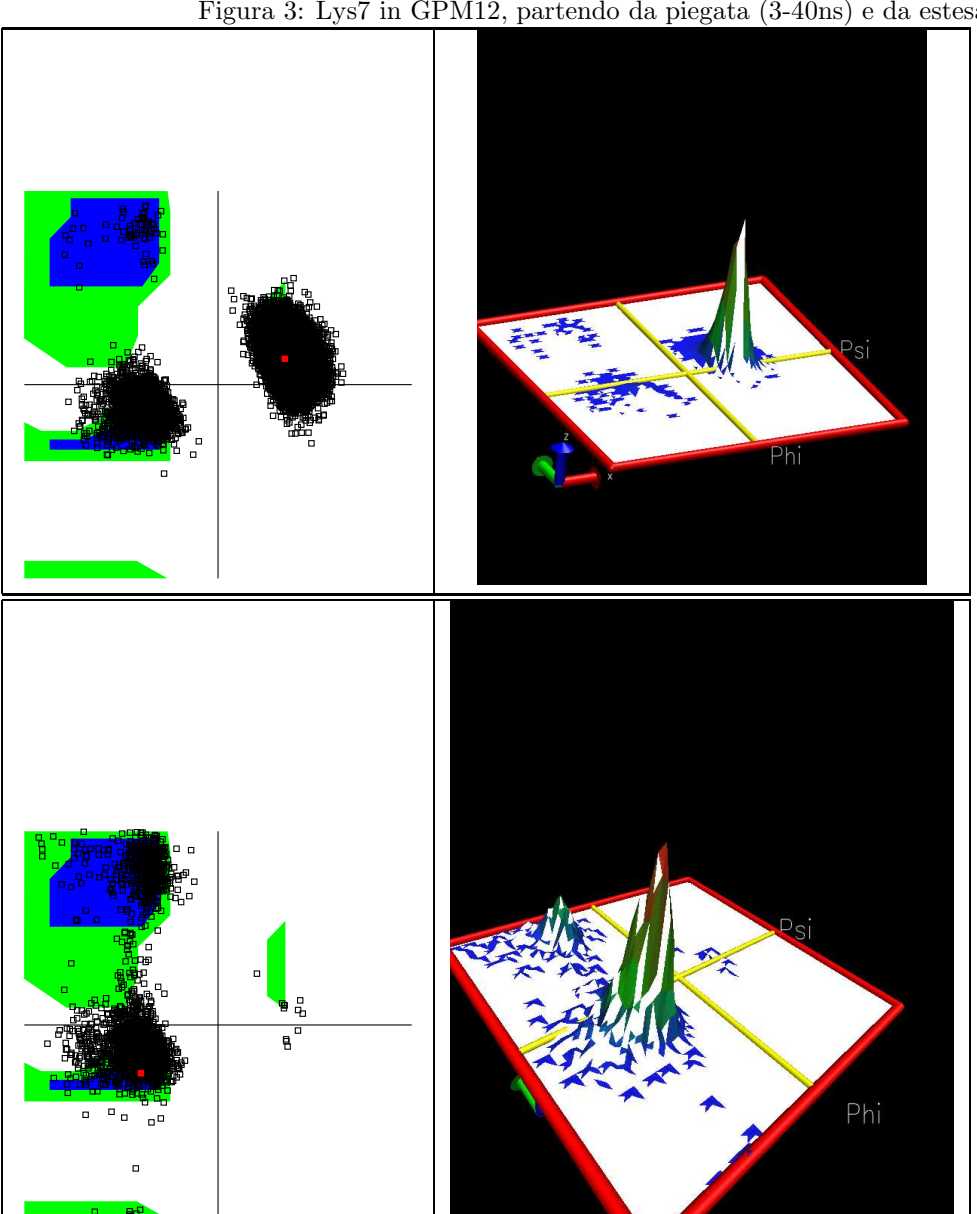
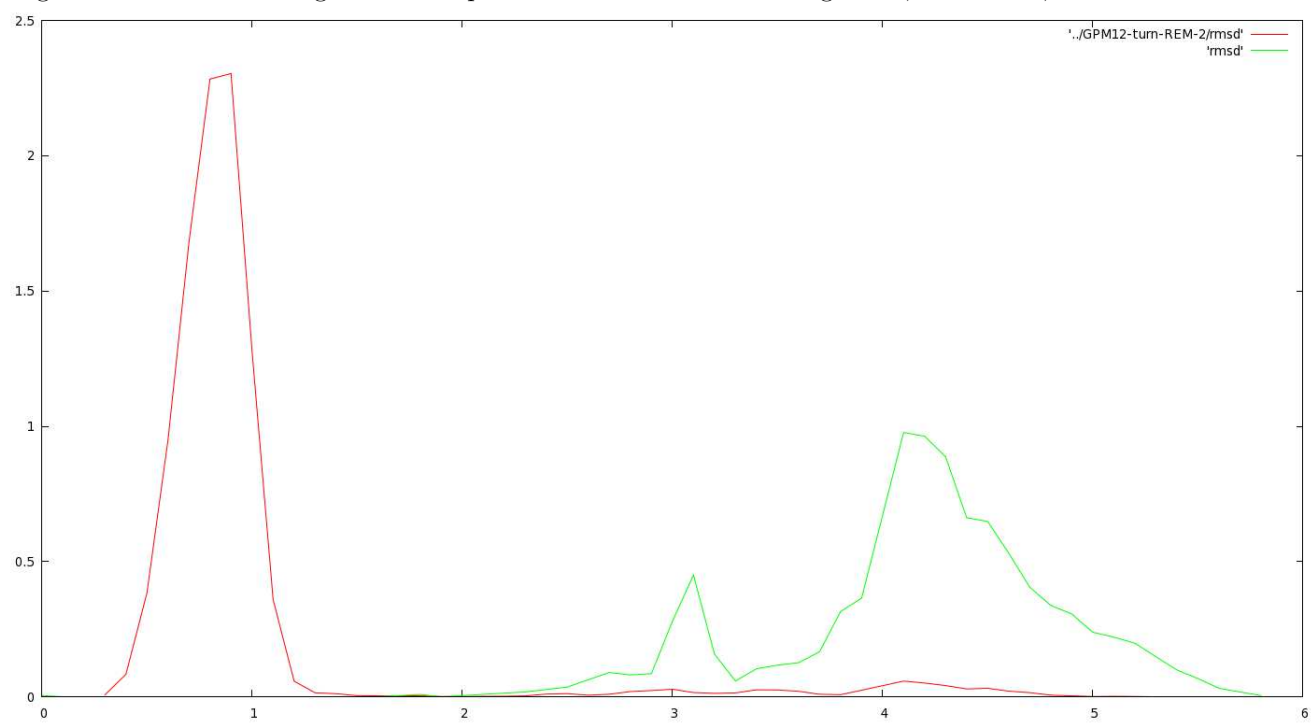


Figura 3: Lys7 in GPM12, partendo da piegata (3-40ns) e da estesa (0-20ns)

Figura 4: distribuzione degli RMSD rispetto alla struttura 1 della chignolina; residui 2-9, solo backbone



5 Stima della stabilità della struttura piegata

6 Confronto con simulazioni tradizionali di analoga durata

